—— ГЕОЛОГИЯ ——

УДК 550.93

ВОЗРАСТНЫЕ ОГРАНИЧЕНИЯ ДЛЯ ЗАОНЕЖСКОГО ГОРИЗОНТА ЛЮДИКОВИЯ И ИЗОТОПНОГО СОБЫТИЯ ШУНЬГА В ОНЕЖСКОЙ СТРУКТУРЕ: НОВЫЕ U—РЬ ДАННЫЕ ДЛЯ ЦИРКОНА ИЗ КОНЧЕЗЕРСКОГО СИЛЛА

© 2024 г. А. В. Степанова^{1,*}, член-корреспондент РАН А. В. Самсонов^{1,2}, А. А. Арзамасцев³ А. Н. Ларионов⁴, Ю. О. Ларионова^{1,2}

Поступило 29.11.2023 г. После доработки 30.11.2023 г. Принято к публикации 01.12.2023 г.

Новые U—Pb-данные для циркона из Кончезерского силла надежно определяют возраст формирования суйсарского горизонта людиковия и предел максимального возраста вулканогенно-осадочных комплексов заонежской свиты с изотопно-легким углеродом и изотопного события Шуньга.

Ключевые слова: палеопротерозой, Онежская структура, событие Шуньга, циркон **DOI**: 10.31857/S2686739724040019

Палеопротерозой — время, когда на Земле активно менялись насыщение атмосферы кислородом и изотопный состав C, S, Sr в океанах, описываемые исследователями как изотопные экскурсии и зафиксированные в осадочных разрезах [1, 2]. Одно из важнейших событий в палеопротерозойской истории развития Фенноскандинавского щита – формирование первых в истории Земли обогащенных органическим углеродом осадочных толщ, включая высокоуглеродистые породы (шунгиты) с аномально низкими значениями δ^{13} С, по которым было выделено событие Шуньга [2]. В пределах Онежской палеопротерозойской структуры углеродсодержащие вулканогенноосадочные породы выделены в самостоятельный заонежский горизонт (рис. 1) людиковийского (2.1—1.92 млрд лет) надгоризонта [3].

Заонежский горизонт имеет четкие геологостратиграфические границы, но они ненадежно обоснованы геохронологически [3]. Возраст шунгитов 2050 млн лет, определенный Re—Os

методом [4], интерпретируется как время осадконакопления, но он, в пределах погрешности, перекрывается с возрастом подстилающих доломитов онежского горизонта ятулийского надгоризонта (2090 \pm 70 млн лет, Pb-Pb изохрона [5]). Верхняя граница заонежского горизонта с перекрывающими вулканогенными комплексами суйсарского горизонта является границей двух крупных стратиграфических подразделений палеопротерозоя и определяет минимальное возрастное ограничение события Шуньга. Точный возраст этой границы не известен, однако принято считать, что он совпадает со временем формирования лав суйсарского магматического комплекса [6]. Переход от углеродсодержащих вулканогенно-осадочных толщ заонежского горизонта к перекрывающему суйсарскому горизонту характеризуется не только резкой сменой обстановок осадконакопления, но также резкой сменой характера магматизма, выделенного в суйсарский магматический комплекс [3, 6]. Среди образований магматического комплекса выделяется Кончезерский габбро-перидотитовый дифференцированный силл, фактически являющийся маркером, определяющим время завершения осадкообразования углеродистых толщ с аномальными значениями δ^{13} С. Возраст кристаллизации пород Кончезерского силла, комагматичного пикробазальтам и базальтам суйсарского горизонта [6, 7], ранее был определен с помощью комплекса изохронных методов: Sm-Nd, Pb-Pb и Re-Os [7, 8]. Полученные разными методами

¹Институт геологии Карельского научного центра Российской Академии наук, Петрозаводск, Россия

² Институт геологии рудных месторождений, петрографии, минералогии и геохимии Российской Академии наук, Москва, Россия

³Институт геологии и геохронологии докембрия Российской Академии наук, Санкт-Петербург, Россия ⁴Всероссийский научно-исследовательский геологический институт им. А.П. Карпинского, Санкт-Петербург, Россия *E-mail: stepanov@krc.karelia.ru

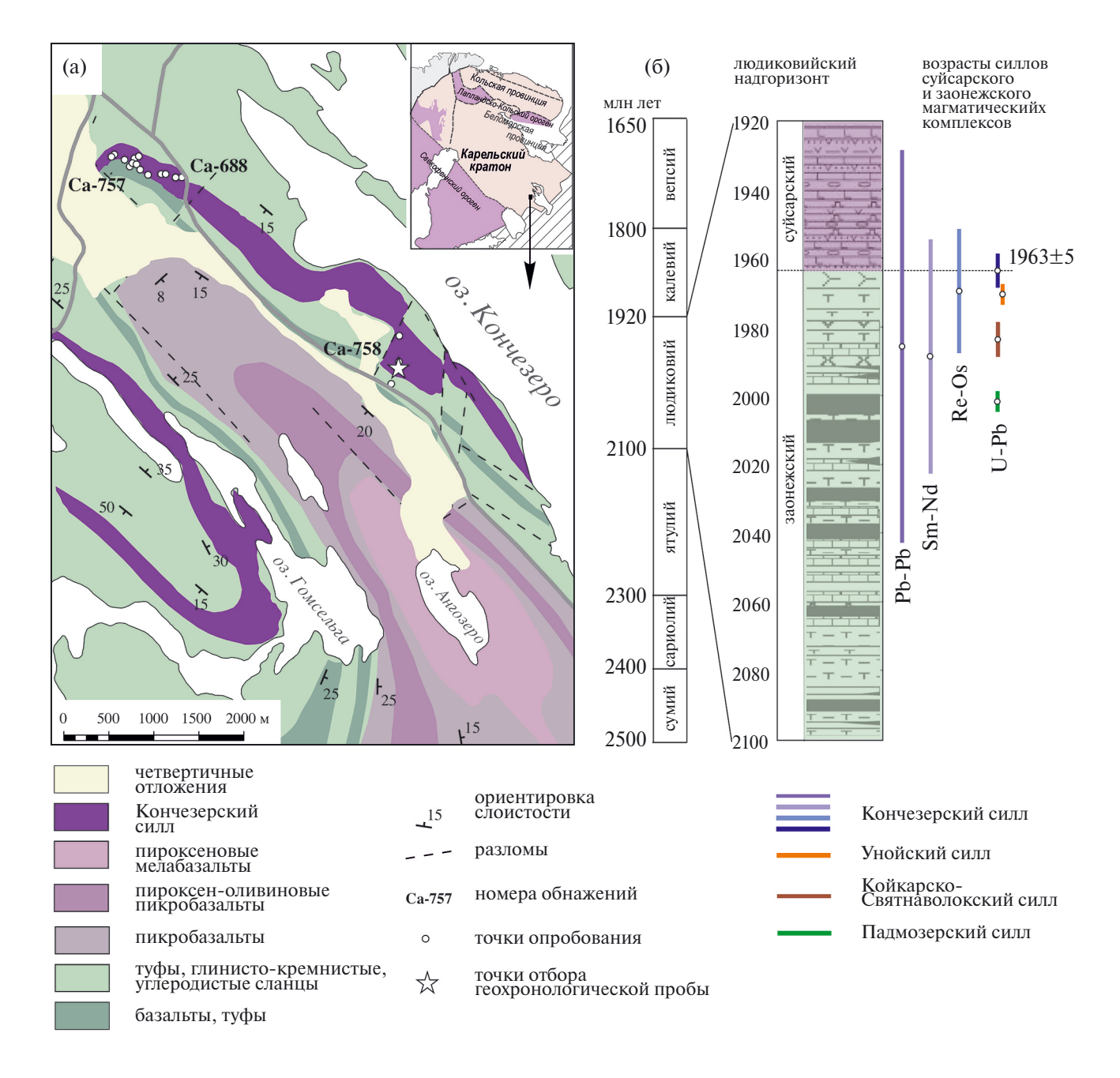


Рис. 1. (а) Схема геологического строения района оз. Кончезеро (по [6], с изменениями). На врезке схема тектонического районирования Фенноскандинавского щита; (б) положение суйсарского и заонежского горизонтов в региональной стратиграфической шкале [3]. Изотопные возрасты пород суйсарского и заонежского магматического комплексов: Кончезерский силл — 1988±34 млн лет (Sm—Nd), 1985±57 млн лет (Pb—Pb), 1969±18 млн лет (Re—Os), минеральные изохроны [8], Унойский силл — 1970±3 млн лет, U—Pb ID-TIMS, бадделеит [17], Койкарско-Святнаволокский силл — 1983±5 млн лет, U—Pb, SIMS (SHRIMP-II), циркон [18], Падмозерский силл — 2000±4 млн лет, U—Pb ID-TIMS, бадделеит [19].

результаты укладываются во временной интервал 1969—1986 млн лет, перекрывающийся в пределах погрешности измерений разных методов [8]. Этот временной интервал сопоставим с продолжительностью всего людиковийского основного магматизма (рис. 1). Столь размытые временные рамки

формирования Кончезерского силла потребовали более точных определений возраста кристаллизации пород.

Кончезерский силл — единственный известный к настоящему времени интрузив в составе суйсарского комплекса, сохранивший полный

разрез, зоны закалки, первичные магматические оливин, клинопироксен и хромит. Вмещающими для Кончезерского силла породами являются магматические и осадочные комплексы заонежского горизонта (рис. 1). Силл дифференцирован от перидотитов до габбро, при этом для кумулятивных ультраосновных пород в нижней части его разреза характерны более высокая степень сохранности по сравнению с габброидами верхней части тела. Габброиды Кончезерского силла, как и другие интрузивные базиты людиковия, метаморфизованы в условиях пренитпумпеллеитовой фации. Они сохранили первичный клинопироксен, но полностью утратили плагиоклаз и титаномагнетит, замещенные пренитом, альбитом и лейкоксеном.

Нами были изучены два разреза в северной и центральной частях Кончезерского силла. Петрографические исследования проводились в прозрачно-полированных шлифах с помощью оптического поляризационного микроскопа и растрового электронного микроскопа TESCAN Vega II LSH с приставкой для энергодисперсионного рентгеноспектрального микроанализа "Inca Energy-350" в Аналитическом центре ИГ КарНЦ РАН, г. Петрозаводск. Анализ состава минералов проводился на напыленных углеродом открытых полированных шлифах. При обработке спектров рентгеновского излучения проводилась оптимизация по спектрам простых соединений и стандартизация по набору эталонов породообразующих минералов.

Содержание петрогенных элементов определялось на спектрометре последовательного действия PW-2400 (PhilipsAnalytical B.V.) в ИГЕМ РАН. Подготовка препаратов для анализа породообразующих элементов выполнена путем сплавления 0.3 г порошка пробы с 3 г тетрабората лития. Потери при прокаливании определялись гравиметрическим методом. Концентрации редких и редкоземельных элементов определялись методом ICP-MS на Agillent 7900 в ИГ КарНЦ РАН по стандартной методике [9]. Разложение образцов проводилось путем кислотного вскрытия в открытой системе. Точность результатов контролировалась путем измерения стандартных образцов BHVO-2 и СГД-2a. Sm-Nd изотопный анализ выполнен в лаборатории изотопной геохимии и геохронологии ИГЕМ РАН по стандартной методике [10].

Выделение циркона проводилось по стандартной методике в тяжелых жидкостях в Лаборатории анализа вещества ИГЕМ РАН. U—Рb анализ циркона проводился на ионном

микрозонде SHRIMP-II в ЦИИ ВСЕГЕИ (г. Санкт-Петербург) по стандартной методике [11, 12]. Зерна циркона, помещенные совместно со стандартными цирконами 91500 и Тетога в эпоксидную матрицу, шлифовались примерно до половины толщины и покрывались $\sim 100~{\rm \AA}$ слоем 99.999% золота. Внутренняя структура циркона изучалась средствами оптической микроскопии и катодолюминесценции. Для анализа выбирались области без видимых трещин и включений в идиоморфных индивидах. Полученные результаты обрабатывались с помощью программ SOUID v1.12 и ISOPLOT/Ex 3.22 с использованием констант распада [13]. Поправка на нерадиогенный свинец вводилась по модели [14] по измеренному отношению 204 Pb/ 206 Pb.

Зоны закалки в северной части тела характеризуются наличием вкрапленников серпентинизированного оливина и зонального авгита. Для авгита в зоне закалки характерно наличие прямой (с падением XMg от 0.82 в центре зерна до 0.65 в краевой части), обратной, выраженной в наличии низко-Mg (XMg = 0.72) ядер в кристаллах с XMg = 0.82 - 0.80 и осцилляторной зональности. Такие особенности состава типичны для клинопироксенов суйсарских лав и отражают сложную эволюцию расплавов, предшествовавшую их кристаллизации in situ [15]. Для кумулятивных пород нижней части тела, сложенных оливином (Fo_{80-82}), авгитом (XMg = 0.85-0.88) и хромитом, характерны высокие содержания MgO (до 33 мас. %), Cr (до 2200 ppm), Ni (до 1670 ррт). Габброиды верхней части интрузива обычно содержат значительно меньше магния и совместимых элементов, при более высоких содержаниях несовместимых с базальтовым расплавом литофильных элементов (рис. 2, табл. 1). Одной из ключевых геохимических особенностей пород Кончезерского силла является принадлежность к геохимическому OIB-типу — для них типично сочетание высоких содержаний Мg и Тi, обогащение высокозарядными элементами (Nb/Nb* до 1.77) и дифференцированный характер распределения REE (рис. 2). Ярко выраженная деплетированность тяжелых REE ($[Gd/Yb]_n = 2.1 - 2.4$) свидетельствует о формировании исходных расплавов в равновесии с гранатом, а положительные значения eNd = +2.4 - +3.3 свидетельствуют о крайне низкой коровой контаминации при формировании пород. Эти характеристики типичны для суйсарских лав [16] и контрастно отличают породы Кончезерского силла от вмещающих его пород заонежского магматического комплекса (табл. 2), характеризующегося меньшими содержаниями

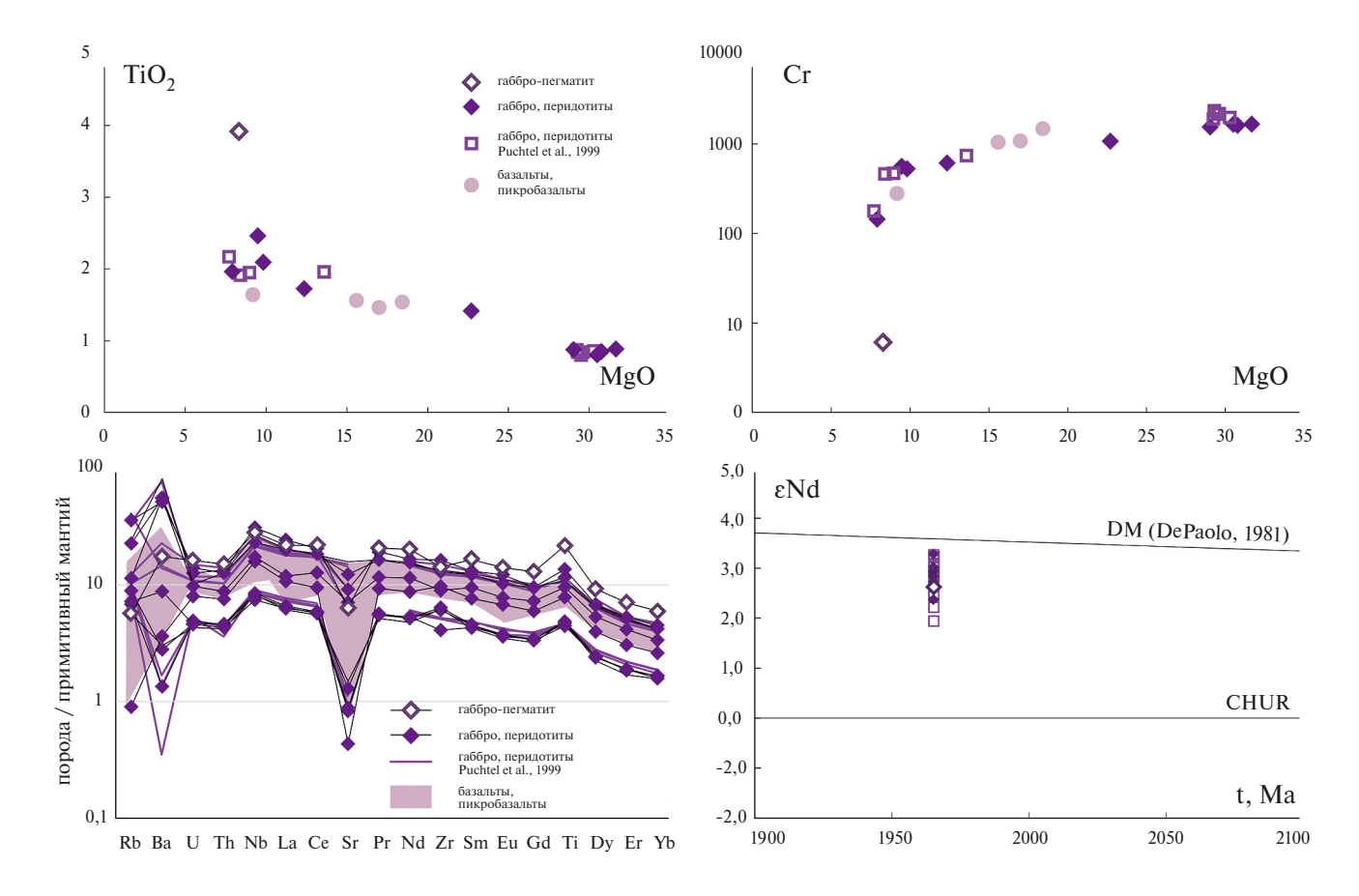


Рис. 2. Вариации содержаний главных, рассеянных элементов в породах и изотопный состав Nd в валовых пробах пород Кончезерского силла, базальтах и пикробазальтах суйсарского горизонта. С использованием данных [7, 20].

MgO (< 8.2 мас. %), деплетированностью высокозарядных элементов (Nb/Nb* = 0.71-0.86) и слабо дифференцированным распределением REE ([Gd/Yb]_n = 1.3-1.4) (табл. 1, обр. Ca-689–8).

В центральной части силла (рис. 1) на значительной плошади обнажены ультраосновные породы и габброиды с умеренными содержаниями MgO (7.9 мас. %) и высокими TiO_2 (до 3.7 мас. %). Породы обогащены высокозарядными элементами (Nb/Nb*= 1.55), деплетированы HREE $([Gd/Yb]_n = 2.2)$ и характеризуются значениями $\varepsilon Nd = +2.6$, то есть представляют поздние дифференицаты высокомагнезиальных магм, типичных для базитов суйсарского магматического комплекса (рис. 2). В пегматоидных метагаббро в центральной части тела циркон формирует удлиненно-призматические зерна хорошей сохранности размером до 500 мкм в длину (рис. 3). Выделенный из пробы Са-758-2 циркон представлен удлиненно-призматическими зернами и их обломками. Для зерен характерно наличие вытянутых вдоль длинной оси кристалла включений биотита и амфибола, а также наличие зон метамиктизации вдоль трещин и в краевых частях зерен (рис. 3). Морфология зерен, положение циркона в породе, содержания в нем U и Th (табл. 2) указывают на его кристаллизацию из расплава.

U—Th—Pb анализ (SIMS SHRIMP-II) выполнен в 19 зернах циркона. Для семи аналитических точек U—Pb результаты имеют дискордантность менее 2%, две точки имеют слабую обратную дискордантность, шесть результатов дискордантны на 3-6% (табл. 2, рис. 3) Конкордантное значение возраста составляет 1963 ± 6 млн лет. Верхнее пересечение дискордии соответствует возрасту 1964 ± 6 млн лет (рис. 3).

В пределах погрешности полученный возраст совпадает с оценками, полученными ранее Sm-Nd, Re-Os, Pb-Pb изохронными методами; наиболее близким к полученному U-Pb возрасту циркона (1963±6 млн лет) является Re-Os возраст (1969±18 млн лет [8]) (рис. 1, 3).

Таблица 1. Химический состав пород

Таолица 1. Аимическии состав пород											
	-	-2	9-	-7	-8	4-	-5	-3	-2	-1	6-
	.57	.57	88	88	888	88	888	.58	.58	88	888
	Ca-757-1	Ca-757-2	Ca-688-6	Ca-688-7	Ca-688-8	Ca-688-4	Ca-688-5	Ca-758-3	Ca-758-2	Ca-688-1	Ca-688-9
-	Ű	Ű	_	Ű	Ű	Ű	-	_	Ü	_	Ü
SiO_2	47.12	39.69	40.24	38.45	39.60	47.96	48.23	47.34	44.21	46.94	47.06
TiO_2	1.66	0.73	0.80	0.80	0.77	2.33	1.89	2.01	3.71	1.85	1.19
Al_2O_3	10.08	4.16	4.76	3.95	4.22	12.63	15.06	10.96	12.75	12.88	13.35
Fe_2O_3	12.54	12.83	12.17	13.33	12.51	13.02	10.34	11.92	13.23	14.18	12.74
MnO	0.176	0.178	0.179	0.188	0.177	0.25	0.174	0.19	0.243	0.16	0.176
MgO	11.90	27.72	26.49	28.58	27.98	8.98	7.63	9.44	7.93	9.98	7.82
CaO	9.57	5.34	6.35	4.68	5.41	5.00	7.40	10.55	8.58	5.18	9.39
Na ₂ O	2.20	0.07	0.10	0.10	0.08	3.82	4.38	2.44	3.33	3.64	3.67
K_2O	0.86	0.06	0.05	0.09	0.10	0.45	0.95	0.94	0.24	0.21	0.28
P_2O_5	0.16	0.08	0.08	0.08	0.08	0.24	0.22	0.23	0.29	0.19	0.12
п.п.п.	3.46	8.47	8.18	9.09	8.43	4.93	3.45	3.71	5.06	4.44	3.46
Сумма	99.73	99.33	99.40	99.34	99.36	99.61	99.72	99.73	99.57	99.65	99.26
Li	37.2	6.97	12.0	6.06	4.51	38.5	45.8	23.8	31.3	46.2	25.2
Be	0.92	0.37	0.41	0.31	0.34	1.36	0.806	1.28	1.33	1.35	0.36
Sc	29.5	19.1	21.8	18.5	19.7	31.1	32.8	33.5	32.3	30.2	35.8
V	257	100	89.1	87.8	84.6	37.1	32.8	323	744	257	267
v Cr	607	1639	1546	1672	1618	562	145	523	6.06	722	146
	1	90.2	87.6	94.8	91.4		1	43.6			
Co	53.5					48.8	35.5	l .	44.6	61.1	61.0
Ni	327	1199	1146	1284	1249	264	131	197	72.3	475	111
Cu	67.2	61.8	42.3	62.3	67.6	121	79.1	95	121	30.1	417
Zn	84.2	71.5	67.0	71.9	66.7	161	88.4	83.6	89.1	128	59.2
Ga	13.1	5.60	4.88	4.15	4.46	18.3	19.9	15.5	20.4	17.4	15.0
Rb	12.1	3.86	3.64	3.00	4.76	6.08	12.9	19	3.02	3.09	3.57
Sr	129	16.1	15.1	27.2	23.5	166	286	224	115	83.8	348
Y	14.6	6.51	7.09	6.32	6.91	20.3	19.4	18.4	26.5	19.2	18.9
Zr	86.7	39.7	39.6	38.2	40.6	132	120	125	138	150	67.4
Nb	10.7	4.60	5.02	5.09	5.22	19.1	16.5	14.2	17.3	20.2	5.67
Ba	334	53.0	8.12	18.2	16.9	338	490	310	106	62.0	110
La	7.31	3.84	3.93	3.75	4.05	14.9	12.4	12.2	13.3	16.6	6.00
Ce	20.3	9.36	9.12	8.80	9.42	32.7	28.8	29.4	34.9	40.9	14.9
Pr	2.80	1.34	1.33	1.24	1.37	4.62	3.95	3.96	5.00	5.33	2.09
Nd	13.6	6.30	6.15	5.67	6.17	19.7	17.8	18.5	23.8	20.7	9.62
Sm	3.65	1.66	1.75	1.64	1.76	5.05	4.79	4.72	6.36	4.88	2.91
Eu	1.13	0.54	0.54	0.51	0.52	1.78	1.61	1.49	2.05	1.51	1.03
Gd	3.71	1.71	1.76	1.63	1.77	4.87	4.92	4.82	6.62	4.76	3.18
Tb	0.60	0.27	0.28	0.27	0.27	0.77	0.74	0.74	1.03	0.718	0.58
Dy	3.39	1.54	1.56	1.42	1.52	4.32	4.11	4.25	5.89	4.04	3.53
Но	0.620	0.282	0.296	0.266	0.295	0.87	0.766	0.79	1.09	0.792	0.764
Er	1.72	0.786	0.768	0.704	0.787	2.20	2.08	2.14	2.92	2.03	2.20
Tm	0.220	0.107	0.109	0.103	0.105	0.30	0.287	0.284	0.381	0.271	0.313
Yb	1.39	0.652	0.691	0.647	0.683	1.86	1.74	1.73	2.46	1.79	2.19
Lu	0.212	0.097	0.104	0.082	0.100	0.25	0.260	0.256	0.352	0.252	0.314
Hf	2.50	1.17	1.16	1.09	1.13	3.43	3.08	3.14	3.93	3.78	1.89
Pb	1.76	0.970	1.08	0.600	0.851	2.72	0.933	1.65	1.34	1.76	12.06
Th	0.714	0.350	0.37	0.341	0.376	1.09	1.03	1.03	1.22	2.89	0.958
U	0.197	0.093	0.100	0.087	0.094	0.26	0.204	0.283	0.327	0.497	0.222
Примоног		220201414									Co 688 6

Примечание. Кончезерский силл: Ca-757-1 — тонкозернистый (Ol)-Срх порфирит зоны закалки; Ca-757-2, Ca-688-6, Ca-688-7, Ca-688-8 — серпентинизированные Ol-Срх и Ol кумулаты; Ca-688-4, Ca-688-5, Ca-758-3 — метадолериты; Ca-758-2 — габбро-пегматит. Вмещающие породы: Ca-688-1 — туффит; Ca-688-9 — тонкозернистый метабазит.

Таблица 2. Результаты U-Рb изотопных исследований циркона

err corr		0.71	0.79	0.97	0.91	0.90	96.0	0.93	0.92	09.0	98.0	0.85	0.79	0.73	0.93	0.89	0.80	98.0
% ∓		0.0	8.0	1.8	1:1	1.8	1.5	1:1	1.0	1:1	8.0	1.7	8.0	8.0	1.3	8.0	8.0	1.0
$\Omega_{862}/^*$ $\mathrm{d}\Phi_{902}$		0.356	0.360	0.339	0.356	0.339	0.336	0.354	0.348	0.336	0.356	0.346	0.354	0.351	0.345	0.356	0.355	0.344
% ∓		1.3	1.0	1.8	1.2	2.0	1.6	1.2	1:1	1.8	6.0	2.0	1.0	1:1	1.3	6.0	1:1	1.1
10^{207} 4 4		5.88	5.96	5.64	5.95	2.67	5.60	5.89	5.81	5.58	5.93	5.76	5.88	5.84	5.70	5.92	5.88	5.70
% ∓		0.93	0.64	0.44	0.48	0.84	0.45	0.43	0.42	1.45	0.46	1.07	09.0	0.79	0.48	0.40	0.64	0.57
*4d ⁹⁰² /*4d ⁷⁰²		0.120	0.120	0.121	0.121	0.121	0.121	0.121	0.121	0.120	0.121	0.121	0.121	0.121	0.120	0.121	0.120	0.120
% ∓		6.0	8.0	1.8	1.1	1.8	1.5	1:1	1.0	1:1	0.8	1.7	8.0	8.0	1.3	8.0	8.0	1.0
*4d ^{90Z} /U ^{86Z}	Ca-758-2	2.81	2.78	2.95	2.81	2.95	2.98	2.82	2.87	2.98	2.81	2.89	2.83	2.85	2.90	2.81	2.82	2.91
Wiscordant, %		-0.7	-1.5	5.2	9.0	5.7	6.0	0.5	2.6	5.5	0.3	3.1	8.0	1.6	2.8	0.1	0.2	3.0
25/10 1 /01		17	11	∞	6	15	∞	∞	∞	26	∞	19	11	14	6	7	11	10
9gA dq ³⁰² \dq ⁷⁰²		1953	1957	1968	1973	1978	1970	1964	1970	1961	1968	1969	1965	1966	1956	1965	1960	1958
251.0 /01		16	14	29	18	29	24	18	16	18	13	29	13	14	21	13	14	16
əgA U ^{88£} \Pb\ ²⁸⁸ C		1964	1982	1879	1963	1880	1868	1955	1926	1867	1963	1915	1951	1939	1909	1964	1957	1907
П _{8ЕZ} /ЧL _{ZEZ}	_	0.93	2.28	2.56	1.67	1.07	2.30	1.93	1.99	0.88	1.81	1.07	1.63	1.07	2.45	3.39	1.26	1.47
mqq,*dq ⁹⁰²		43.1	83.6	191.8	151.5	52.6	187.2	193.9	187.2	21.8	207.6	41.1	125.9	72.5	185.0	261.4	106.8	128.9
mqq ,dT		127	597	1636	801	188	1442	1190	1205	64	1191	143	655	249	1482	2801	428	621
mqq ,U		141	270	629	496	181	648	637	979	75	629	138	414	240	625	854	351	436
°qd ₉₀₇ %		0.05	0.05	0.05	0.03	0.07	90.0	90.0	0.00	0.19	0.00	0.12	90.0	-0.10	0.04	0.01	-0.04	0.01
точка анализа		1:1	2.1	3.1	4.1	5.1	6.1	7.1	8.1	9.1	10.1	11.1	12.1	13.1	14.1	15.1	16.1	17.1

Примечание. Номера аналитических точек соответствуют номерам на рис. 3а. Ошибки возраста для доверительного интервала 1σ ; Pb_c и Pb_s и Pb_s нерадиогенный свинец соответственно. Ошибка калибровки стандарта $(1\sigma)-0.35\%$. Коррекция на Pb_c по измеренному 204 Pb. D,%- дискордантность, егг согг коэффициент корреляции ошибок.

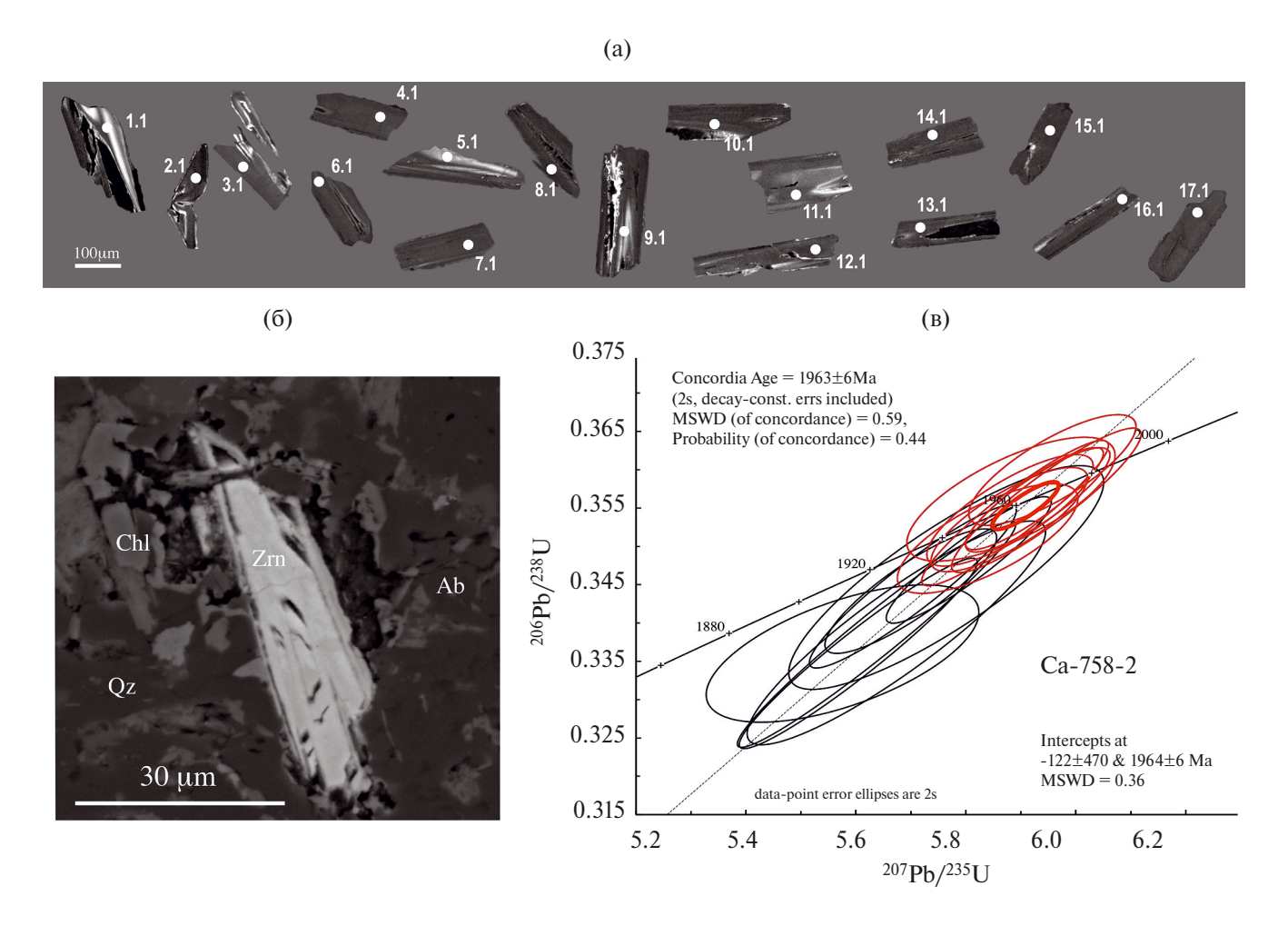


Рис. 3. (а) катодлюминесцентные изображения цирконов, выделенных из габбро-пегматитов Кончезерского силла, обр. Ca-758-2, номера точек соответствуют номерам в таблице 2; (б) микрофотографии циркона в шлифе Ca-758-2, изображение в обратно-отраженных электронах; (в) положение аналитических точек цирконов из пробы Ca-758-2 на диаграмме с конкордией.

Таблица 3. Изотопный состав Nd в валовых пробах базитов Кончезерского силла

	Sm	Nd	¹⁴⁷ Sm/ ¹⁴⁴ Nd	¹⁴³ Nd/ ¹⁴⁴ Nd	±2s	ΣNd ₁₉₆₅
Ca-689-1	2.7	10.5	0.15528	0.512252	0.000006	2.9
Ca-689-3	1.6	6.2	0.15535	0.512248	0.000007	2.8
Ca-688-4	6.0	22.8	0.15955	0.512325	0.000006	3.3
Ca-688-6	1.5	6.0	0.15514	0.512255	0.000006	3.0
Ca-757-1	4.0	15.2	0.15983	0.512282	0.000007	2.4
Ca-758-2	6.4	24.5	0.15755	0.512267	0.000006	2.6
Ca-758-3	4.7	18.9	0.14954	0.512167	0.000005	2.7

Таким образом, оценка U-Pb возраста циркона из метагаббро Кончезерского силла определяет возраст кристаллизации расплавов и, с учетом дифференцированного характера силла — от пикробазальтов до габбро, этот возраст может быть распространен на весь комплементарный ряд пород суйсарского магматического комплекса. Кроме того, полученные данные определяют возрастное положение границы заонежского и суйсарского горизонтов людиковийского надгоризонта на рубеже 1963±6 млн лет. Этот результат, являющийся максимальным ограничением возраста заонежского горизонта, определяет и возрастное ограничение для события Шуньга как

времени накопления осадочных пород с низкими значениями δ^{13} С в Онежском палеобассейне. Предполагаемый глобальный характер события Шуньга [1, 2] позволяет рассматривать полученный возраст как максимальное возрастное ограничение этой палеопротерозойской изотопной экскурсии.

ИСТОЧНИК ФИНАНСИРОВАНИЯ

Исследования выполнены за счет средств Российского научного фонда, проект № 23-17-00260.

СПИСОК ЛИТЕРАТУРЫ

- 1. Bekker A., Holland H.D., Wang P.L., Rumble D., Stein H.J., Hannah J.L., Coetzee L.L., Beukes N.J. Dating the rise of atmospheric oxygen // Nature. 2004. V. 427. No. 6970. P. 117–120.
- 2. *Melezhik V.A.*, *Fallick A.E.*, *Brasier A.T.*, *Lepland A.* Carbonate deposition in the Palaeoproterozoic Onega basin from Fennoscandia: A spotlight on the transition from the Lomagundi-Jatuli to Shunga events // Earth-Science Reviews. 2015. V. 147. P. 65–98.
- 3. Онежская палеопротерозойская структура под ред. Л.В. Глушанина, Н.В. Шарова, В.В. Щипцова, Петрозаводск:, 2011. 433 с.
- 4. Hannah J.L., Stein H.J., Zimmerman A., Yang G., Melezhik V.A., Filippov M.M., Turgeon S.G., Creaser R.A. Re-Os geochronology of shungite: A 2.05 Ga fossil oil field in Karelia // Goldschmidt Conference Abstracts. 2008. A351.
- 5. Овчинникова Г.В., Кузнецов А.Б., Мележик В.А., Горохов И.М., Васильева И.М., Гороховский Б.М. Рb-Рb возраст ятулийских карбонатных пород: туломозерская свита юго-восточной Карелии // Стратиграфия. Геологическая корреляция. 2007. Т. 15. № 4. С. 20—33.
- 6. Куликов В.С., Куликова В.В., Лавров Б.С., Писаревский С.А., Пухтель И.С., Соколов С.Я. Суйсарский пикрит-базальтовый комплекс палеопротерозоя Карелии (опорный разрез и петрология) // Петрозаводск. Карельский научный центр РАН, 1999. 96 с.
- 7. Puchtel I.S., Arndt N.T., Hofmann A.W., Haase K.M., Kröner A., Kulikov V.S., Kulikova V.V., Garbe-Schönberg C.D., Nemchin A.A. Petrology of mafic lavas within the Onega plateau, central Karelia: evidence for 2.0 Ga plume-related continental crustal growth in the Baltic Shield // Contributions to Mineralogy and Petrology. 1998. V. 130. No. 2. P. 134–153.

- 8. Puchtel I.S., Brugmann G.E., Hofmann A.W. Precise Re Os mineral isochron and Pb Nd Os isotope systematics of a mafic ultramafic sill in the 2.0 Ga Onega plateau (Baltic Shield) // Earth and Planetary Science Letters. 1999. V. 170. P. 447—461.
- 9. Светов С.А., Степанова А.В., Бурдюх С.В., Парамонов А.С., Утицина В.Л., Эхова М.В., Теслюк И.А., Чаженгина С.Ю., Светова Е.Н., Конышев А.А. Прецизионный ICP-MS анализ докембрийских горных пород: методика и оценка точности результатов // Труды Карельского научного центра РАН. 2023. № 2. С. 73—86.
- 10. Ларионова Ю.О., Самсонов А.В., Шатагин К.Н. Источники архейских санукитоидов (высоко-Мg субщелочных гранитоидов Карельского кратона: Sm-Nd и Rb-Sr изотопногеохимические данные) // Петрология. 2007. № 6. С. 571—593.
- 11. *Larionov A.N., Andreichev V.A., Gee D.G.* The Vendian alkaline igneous suite of northern Timan: ion microprobe U-Pb zircon ages of gabbros and syenite // Geological Society, London, Memoirs. 2004. V. 30. No. 1. P. 69–74.
- 12. *Williams I.S.* U-Th-Pb Geochronology by Ion Microprobe // Applications of microanalytical techniques to understanding mineralizing processes // Reviews in Economic Geology. 1998. V. 7. P. 1–35.
- 13. *Steiger R.H., Jager E.* Subcommission on geochronology: convention on the use of decay constants in geo-and cosmochronology // Earth and Planetary Science Letters. 1977. V. 36. P. 359–362.
- 14. *Stacey J.S., Kramers J.D.* Approximation of terrestrial lead isotope evolution by a two-stage model // Earth and Planetary Science Letters. 1975. V. 26 No. 2. P. 207–221.
- 15. Svetov S.A., Chazhengina S.Y., Stepanova A.V. Geochemistry and Texture of Clinopyroxene Phenocrysts from Paleoproterozoic Picrobasalts, Karelian Craton, Fennoscandian Shield: Records of Magma Mixing Processes // Minerals. 2020. V. 10. 434.
- 16. *Chazhengina S.Y., Stepanova A.V., Ustinova V.V., Svetov S.A.* Amorphous carbonaceous material in Paleoproterozoic pillow lavas (Onega Basin, NW Russia): Origin, source and migration // Lithos. 2023. V. 460–461. P. 107373.
- 17. Lubnina N.V., Stepanova A.V., Ernst R.E., Nilsson M., Söderlund U. New U-Pb baddeleyite age, and AMS and paleomagnetic data for dolerites in the Lake Onega region belonging to the 1.98–1.95 Ga regional Pechenga—Onega Large Igneous Province // GFF. 2016. V. 138. No. 1. P. 54–78.
- 18. Филиппов Н.Б., Трофимов Н.Н., Голубев А.И., Сергеев С.А., Хухма Х. Новые геохронологические

- данные по Койкарско-Святнаволокскому и Пудожгорскому габбро-долеритовым интрузивам // Геология и полезные ископаемые Карелии. 2007. С. 49—68.
- 19. Степанова А.В., Сальникова Е.Б., Самсонов А.В., Суханова М.А., Устинова В.В. Основной магматизм 2.0 млрд лет в Онежской структуре Фенноскандинавского щита: первые результаты U-Pb (ID-TIMS) датирования бадделеита 2022. // Возраст и корреляция магматических, метаморфи-
- ческих, осадочных и рудообразующих процессов. Материалы VIII Российской конференции по изотопной геохронологии С. 148–149.
- 20. Светов С.А., Голубев А.И., Степанова А.В., Куликов В.С. Палеопротерозойские вулканоплутонические комплексы Онежской структуры // Путеводитель геологических экскурсий XII Всероссийского петрографического совещания. 2016. С. 28–54.

AGE CONSTRAINTS FOR THE ZAONEGA FORMATION OF THE LUDICOVIAN SUPERHORIZON AND THE SHUNGA EVENT IN THE ONEGA BASIN: NEW U-PB ZIRCON DATA FOR THE KONCHEZERO SILL

A. V. Stepanova^{a,#}, Corresponding Member of the RAS A. V. Samsonov^{a,b}, A. A. Arzamastsev^c, A. N. Larionov^d, Yu. O. Larionova^{a,b}

^aInstitute of Geology Karelian Research Centre RAS, Petrozavodsk, Russia
^bInstitute of Geology of Ore Deposits, Petrography, Mineralogy and Geochemistry
Russian Academy of Sciences, Moscow, Russia
^cInstitute of Precambrian Geology and Geochronology Russian Academy of Sciences, St. Petersburg, Russia
^dA.P. Karpinsky Russian Geological Research Institute, St. Petersburg, Russia
[#]E-mail: stepanov@krc.karelia.ru

New U-Pb data for zircon in the Konchezersky Sill provide robust age constraints for the Suisari Fm in the Onega Basin and constrain the maximum age limit for the sedimentary successions of the Zaonega Fm and the Shunga isotope event.

Keywords: Paleoproterozoic, Onega basin, Shunga event, zircon